

от геометрических параметров и электрофизических свойств ОЭП.

На основе полученных выражений возможно осуществить согласование по КЧХ отдельных блоков и определить сквозную частотную функцию преобразователя.

ЛИТЕРАТУРА

1. Бутковский А. Г. Характеристики систем с распределенными параметрами.— М.: Наука, 1979.
2. Корн Г., Корн Т. Справочник по математике для научных работников и инженеров.— М.: Наука, 1973.
3. Киреев П. С. Физика полупроводников.— М.: Высшая школа, 1975.
4. Ржанов А. В. Электронные процессы на поверхности полупроводников.— М.: Наука, 1971.
5. Матвеева И. А., Пронин В. П., Шехтман Л. А. К теории измерения поверхностных зарядов методом электростатической индукции.— ЖТФ, 1977, т. 47, вып. 7.
6. Абашин Н. П., Биленко Д. И., Лодгауз В. А. Частотно-контрастная характеристика полупроводникового материала.— Изв. высш. учебн. заведений. Сер. Физика, 1971, № 10.

Поступила в редакцию 26 ноября 1981 г.;
окончательный вариант — 15 марта 1982 г.

УДК 681.332 : 621.378.35

В. А. ЕЛХОВ, А. И. ЗОЛОТАРЕВ, В. Н. МОРОЗОВ, Ю. М. ПОПОВ
(Москва)

ВЛИЯНИЕ КОГЕРЕНТНОСТИ ИЗЛУЧЕНИЯ НА ФОРМУ ВЫХОДНОГО СИГНАЛА ОПТИЧЕСКОГО КОРРЕЛЯТОРА. Ч. II

Известные достоинства инъекционных лазеров определяют перспективность их применения в системах оптической обработки информации, а возможность варьирования степенью когерентности излучения позволяет реализовать не только линейную по амплитуде или интенсивности, но и частично-когерентную обработку [1].

В качестве объекта исследования была выбрана классическая схема коррелятора Вандер Люгта [2]. Общее выражение для выходного сигнала коррелятора в случае использования на стадии обработки частично-когерентного источника и анализ влияния временной когерентности излучения на форму корреляционного сигнала представлены в [1]. В настоящей работе рассматривается влияние пространственной когерентности.

Источник будем считать квазимохроматическим, а излучение во входной плоскости коррелятора — частично пространственно-когерентным. Как показано в [3], при выполнении условий квазимохроматичности $\Delta\lambda/\lambda \ll 1$, $\lambda^2/\Delta\lambda \gg |\Delta r|$, где $|\Delta r|$ — максимальная оптическая разность хода в системе, закон распространения взаимной интенсивности (ВИ) для источника с малыми линейными размерами в приближении малых углов имеет вид, аналогичный соответствующему закону распространения (формула (1) из работы [1]) взаимной спектральной плотности (ВСП). В этом случае в общем выражении для выходного сигнала коррелятора ((8) из [1]) можно заменить ВСП на ВИ:

$$\Gamma^*(\xi) = -[T_2(\xi)\Gamma_p(\xi)] * T_1(\xi), \quad (1)$$

где $\Gamma^*(\xi)$ и $\Gamma_p(\xi)$ — соответственно ВИ в выходной плоскости и плоскости объекта, а функции $T_2(\xi)$, $T_1(\xi)$ и координаты вектора ξ определены в [1]. В выражении (1) опущены не существенные для дальнейшего изложения постоянный размерный множитель и масштабные коэффициенты.

Переходя к декартовым координатам и совмещая попарно координаты точек в выходной плоскости, получим из (1) для распределения интенсивности, соответствующего функции кросс-корреляции,

$$I^*(\xi, \eta) = \int \cdots \int t_2(p_1, q_1) t_2^*(p_2, q_2) \Gamma_p(p_1, p_2, q_1, q_2) t_1^*(p_1 + \xi, q_1 + \eta) \times \\ \times t_1(p_2 + \xi, q_2 + \eta) dp_1 dp_2 dq_1 dq_2. \quad (2)$$

Из (2) непосредственно следуют два известных предельных случая. При $\Gamma_p(\mathbf{p}) = 1$ (когерентное излучение) $I^*(\xi, \eta) = |t_2(\xi, \eta) * t_1(\xi, \eta)|^2$, а при $\Gamma_p(\mathbf{p}) = \delta(p_1 - p_2)\delta(q_1 - q_2)$ (некогерентное излучение) $I^*(\xi, \eta) = |t_2(\xi, \eta)|^2 * |t_1(\xi, \eta)|^2$. В общем же случае результат существенно зависит как от взаимной интенсивности $\Gamma_p(\mathbf{p})$ во входной плоскости, так и от вида функций амплитудного пропускания объектов $t_i(p, q)$ и $t_2(p, q)$.

Здесь углы θ'_0 и θ'_1 определяют соответственно степень пространственной когерентности излучения и ширину диаграммы направленности, f равно фокусному расстоянию коллимирующего объектива, I'_0 — интенсивность на оси диаграммы направленности.

Предположим, что функции $t_1(p, q)$ и $t_2(p, q)$ могут быть представлены в виде произведений $t_i(p, q) = t_i(p)t_i''(q)$, $i = 1, 2$. В этом случае с учетом $\Gamma_p(\mathbf{p})$ выходной сигнал также может быть представлен в виде произведения $I^*(\xi, \eta) = I'^*(\xi)I''(\eta)$. Тогда при однородном распределении интенсивности во входной плоскости выходной сигнал по каждой из осей примет вид

$$I^*(\xi) = I'_0 \int \int t_2(p_1) t_1^*(p_1 + \xi) \operatorname{sinc} \frac{p_1 - p_2}{\theta'_0 f} t_2^*(p_2) t_1(p_2 + \xi) dp_1 dp_2. \quad (4)$$

Штриховые индексы здесь и далее опущены.

Как отмечено в [6], если при анализе оптических корреляционных систем требуется конкретизация функций амплитудного пропускания объектов, то для получения достаточно общего результата эти функции должны быть отнесены соответственно к некоторым достаточно общим классам.

В качестве первого класса объектов рассмотрим фазовые двоичные ($-\pi/2, \pi/2$) случайные последовательности с равномерным законом распределения. Такие последовательности обладают достаточно хорошими автокорреляционными свойствами. Известно, в частности, что математическое ожидание боковых выбросов автокорреляционной функции $m(u_6) = 0$, а их среднеквадратичное отклонение $\sigma(u_6) \sim \sqrt{N}$, где N — число элементов последовательности.

Без ограничения общности рассмотрим случай, когда входной объект содержит в себе точную копию эталонного использованного при записи фильтра объекта. При вычислении отношения сигнал/фон в качестве характеристики сигнала возьмем интенсивность в максимуме корреляционной функции, а в качестве характеристики фона — среднее по аргументу корреляционной функции значение интенсивности боковых выбросов. Используя свойство $m(u_6) = 0$, из (4) получим

$$I_c = I'_0 \int \int \operatorname{sinc} \frac{p_1 - p_2}{\theta'_0 f} dp_1 dp_2, \quad (5)$$

$$\langle I_\Phi \rangle = NI'_0 \int \int \operatorname{sinc} \frac{p_1 - p_2}{\theta'_0 f} dp_1 dp_2, \quad (6)$$

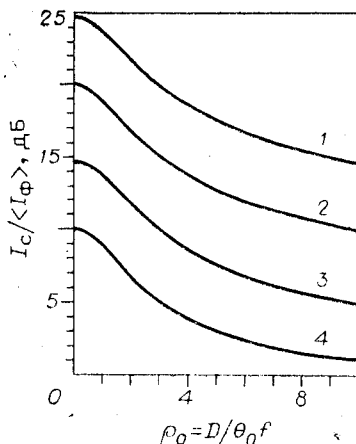


Рис. 1.

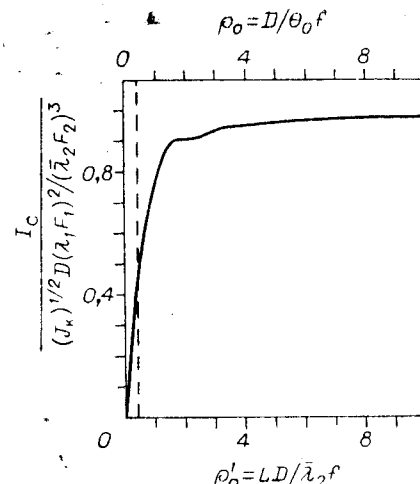


Рис. 2.

где области интегрирования представляют собой квадраты со сторонами D и Δ , ориентированными вдоль осей p_1 , p_2 ; D — размер эталонного объекта; $\Delta = D/N$. Производя замену переменных $p_1 - p_2 = y$, $p_1 + p_2 = z$, для отношения сигнал/фон из (5), (6) получим

$$I_c / \langle I_\phi \rangle = P_-(\pi\rho_0) / P_-(\pi\rho_0/N), \quad (7)$$

где $\rho_0 = D/\theta_0 f$, $P_-(x) = \text{Si}(x) - (1 - \cos x)/x$.

На рис. 1 представлены построенные по формуле (7) графики зависимости отношения сигнал/фон $I_c / \langle I_\phi \rangle$ от величины ρ_0 , равной отношению углового размера объекта к углу когерентности излучения θ_0 . Параметром кривых является число элементов последовательности N (кривые 1—4 — $N = 300, 100, 30, 10$ соответственно). При $\rho_0 = 0$ излучение является пространственно-когерентным. В этом случае отношение $I_c / \langle I_\phi \rangle$ максимально и равно в абсолютных единицах N , что согласуется с отмеченными выше автокорреляционными свойствами рассматриваемых объектов. При $\rho_0 = 1$ ВИ точек, лежащих на краях объекта, обращается в нуль. Предельное значение $I_c / \langle I_\phi \rangle$ достигается при $\rho_0 \approx N$, т. е. при равенстве размера когерентной области в плоскости объекта расстоянию между элементами (пространственно-некогерентное излучение). Так, при $N = 10$, $\rho_0 = 10$, $I_c / \langle I_\phi \rangle \approx 1$.

Для вычисления величины сигнала в максимуме корреляционной функции в случае частично-когерентного источника требуется определить зависимость интенсивности I_0 от угла когерентности излучения θ_0 . I_0 имеет вид $I_0 = L \sqrt{J_k / \bar{\lambda}_2 f}$, где L — размер излучающей области инжекционного лазера, J_k — мощность, излучаемая одним каналом генерации [5], при этом $\theta_0 = \theta_0(L)$.

Зависимость угла когерентности излучения от размера излучающей области определим следующим образом: $\theta_0 = 1$ при $L \leq l_1$, где l_1 — размер канала, $\theta_0 = \bar{\lambda}_2/L$ при $L > l_1$. Из (5) с учетом постоянного размерного множителя в общем выражении для выходного сигнала ((8) из работы [1]) получим относительную величину интенсивности в максимуме корреляционной функции

$$\frac{I_c}{(J_k)^{1/2} D (\lambda_1 F_1)^2 (\bar{\lambda}_2 F_2)^{-3}} = \begin{cases} (2L/\pi\bar{\lambda}_2) P_-(\pi D/f), & L \leq l_1; \\ (2/\pi) P_-(\pi\rho'_0), & L > l_1, \end{cases} \quad (8a)$$

$$(8b)$$

где $\rho'_0 = LD / \bar{\lambda}_2 f$. При этом количественным критерием, определяющим численное значение $\rho'_0(l_1) = l_1 D / \bar{\lambda}_2 f$, является степень однородности освещения во входной плоскости. Считая $I(p) = I_0 \text{sinc}^2(l_1 p / \bar{\lambda}_2 f)$, при $I(D/2)/I_0 = 0.9$ получим $\rho'_0(l_1) \approx 0.4$.

На рис. 2 представлены графики зависимости относительной величины интенсивности в максимуме корреляционной функции от относительного размера излучающей области лазера, построенные по формулам (8а), (8б) для $\rho'_0(l_1) = 0,4$. На этом же рисунке па верхней горизонтальной оси отложения значения $\rho_0 = D/\theta_0 f$. Значение $\rho'_0(l_1) = 0,4$, обозначенное вертикальной штриховой линией, соответствует пространственно-когерентному излучению. Модель, использованная выше для задания $\theta_0 = \theta_0(L)$, является довольно грубой. Реально угол когерентности излучения многоканального инжекционного лазера можно считать с достаточной степенью точности как $\bar{\lambda}_2/L$ лишь при $L \geq 3l_1$ [5], а в интервале $l_1 < L \leq 3l_1$ θ_0 имеет промежуточные между 1 и $\bar{\lambda}_2/L$ значения. Поэтому на графике не обозначена точка $\rho_0 = 1$, попадающая в указанный интервал L . При $L \geq 3l_1$ считаем $\theta_0 = \bar{\lambda}_2/L$ и $\rho_0 = \rho'_0$.

Как видно из рис. 2, зависимость интенсивности в максимуме от угла когерентности излучения имеет два характерных участка: приблизительно линейный рост при $\rho_0 \leq 1$ и практически постоянное значение при $\rho_0 \geq 1$.

Такой характер зависимости объясняется следующим образом. При $\rho_0 = D/\theta_0 f \leq 1$ излучение во входной плоскости в пределах апертуры эталонного объекта практически пространственно-когерентно. При этом средняя интенсивность в плоскости фильтра в пределах ширины дифракционного максимума, определяемого размером объекта D , растет линейно с ростом L и $I_c \sim L$. При $\rho_0 \geq 1$ интенсивность в плоскости фильтра определяется размером когерентной области во входной плоскости $\theta_0 f$. Так как $\theta_0 \sim 1/L$, а $I_0 \sim L$, то $I_c \approx \text{const}$.

В качестве второго класса объектов рассмотрим амплитудные двоичные (0,1) случайные последовательности с равномерным законом распределения и вероятностью заполнения w . Процедура вычислений $I_c/\langle I_\Phi \rangle$ и I_c как функций соответственно ρ_0 и ρ'_0 аналогична рассмотренному выше случаю. Используя свойство случайности последовательностей и теорему о произведении вероятностей, получим для $N \gg 1$

$$I_c/I_0 = w^2 \int \int_{\Delta} \text{sinc} \frac{p_1 - p_2}{\theta_0 f} dp_1 dp_2 + N(1-w)w \times \\ \times \int \int_{\Delta} \text{sinc} \frac{p_1 - p_2}{\theta_0 f} dp_1 dp_2, \quad (9)$$

$$\langle I_\Phi \rangle / I_0 = w^4 \int \int_D \text{sinc} \frac{p_1 - p_2}{\theta_0 f} dp_1 dp_2 + N(1-w^2)w^2 \int \int_{\Delta} \text{sinc} \frac{p_1 - p_2}{\theta_0 f} dp_1 dp_2 + \\ + 2N(1-w)w^3 \int \int_{\Delta} \text{sinc} \frac{p_1 - p_2 - \Delta}{\theta_0 f} dp_1 dp_2. \quad (10)$$

Подставляя в (9), (10) значения интегралов и $\theta_0 = \bar{\lambda}_2/L$, получим

$$\frac{I_c}{\langle I_q \rangle} = \frac{w P_-(\pi\rho_0) + (1-w) P_-(\pi\rho_0/N)}{\{w^2 P_-(\pi\rho_0) + (1-w^2) P_-(\pi\rho_0/N) + 2(1-w)w[P_+(2\pi\rho_0/N) - P_0(\pi\rho_0/N)]\}}, \quad (11)$$

$$\frac{I_c}{(J_R)^{1/2} D (\lambda_1 F_1)^2 (\bar{\lambda}_2 F_2)^{-3} w} = \frac{2}{\pi} [w P_-(\pi\rho'_0) + (1-w) P_-(\pi\rho'_0/N)], \quad (12)$$

где $P_+(x) = \text{Si}(x) + (\cos x + 1)/x$; $P_0(x) = \text{Si}(x) + \cos x/x$.

Графики, аналогичные приведенным выше на рис. 1 и построенные по формуле (11) для амплитудных последовательностей с вероятностью заполнения $w = 0,5$, представлены на рис. 3 (кривые 1—4 — $N = 500, 300, 100, 30$ соответственно). Здесь предельное значение $I_c/\langle I_\Phi \rangle$ при $\rho_0 \approx N$ (пространственно-некогерентное излучение) равно $1/w$. При полной когерентности ($\rho_0 = 0$) $I_c/\langle I_\Phi \rangle \approx 1/w^2$.

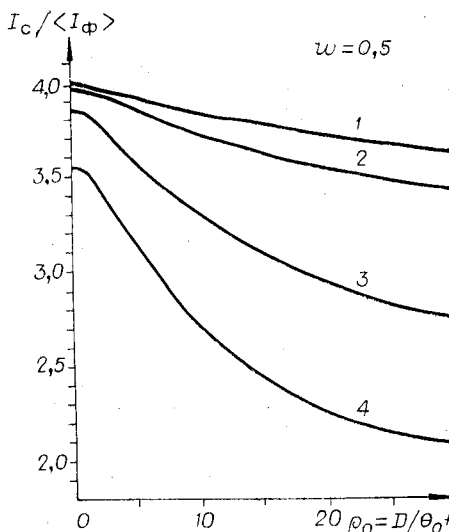


Рис. 3.

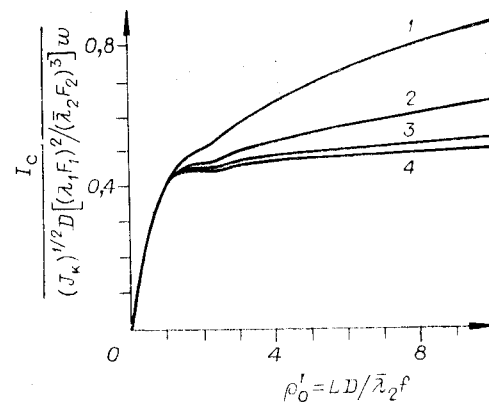


Рис. 4.

Зависимость относительной величины сигнала от относительного размера излучающей области лазера, полученная по формуле (12) для $w = 0.5$, представлена на рис. 4 (кривые 1 – 4 – $N = 10, 30, 100, 300$ соответственно). Дополнительные построения, связанные с конечной величиной размера канала, могут быть выполнены аналогично рис. 2.

Качественное отличие графиков на рис. 4 от приведенной на рис. 2 аналогичной зависимости для фазовых объектов состоит в наличии второго участка роста величины сигнала при $\rho_0 \geq 1$. При этом, как и для отношения сигнал/фон в двух рассмотренных случаях, предельное значение I_c достигается при $\rho_0 \approx N$ (точка $\rho_0' = 10$ на кривой 1 для $N = 10$). Указанное отличие определяется разным характером распределения интенсивности в фурье-спектрах фазовых и амплитудных объектов. Для амплитудных объектов, состоящих из повторяющихся элементов, фурье-спектр состоит из резких дифракционных максимумов [7]. В этом случае некоторое увеличение интенсивности сигнала при $\rho_0 \geq 1$ связано с уширением и частичным перекрытием отдельных максимумов.

Таким образом, результаты анализа влияния пространственной когерентности излучения на форму корреляционного сигнала для двух рассмотренных классов объектов заключаются в следующем. При уменьшении отношения угла когерентности излучения к угловому размеру объекта отношение сигнал/фон корреляционного отклика монотонно падает в интервале между предельными значениями, определяемыми результатом линейной по амплитуде и интенсивности корреляции объектов. При этом предельное значение достигается при размере когерентной области в плоскости объекта, равном его пространственному периоду (пространственно-некогерентное излучение).

Увеличение размера излучающей области инжекционного лазера выше такого, при котором обеспечивается равенство углов когерентности излучения угловому размеру объекта, не дает существенного выигрыша в интенсивности корреляционного максимума, а лишь приводит к уменьшению величины отношения сигнал/фон. Однако следует отметить, что при этом, как экспериментально показано в [8], снижаются требования к точности установки фильтра.

На основании полученных в данной работе и в работах [1, 8] результатов могут быть найдены оптимальные тип и режим работы инжекционного лазера, геометрические параметры схем записи и обработки, обеспечивающие для заданных характеристик преобразователя оптических сигналов в электрические максимальную плотность обрабатываемой информации при приемлемых требованиях к точности установки фильтра.

ЛИТЕРАТУРА

1. Елхов В. А., Золотарев А. И., Морозов В. Н., Попов Ю. М. Влияние когерентности излучения на форму выходного сигнала оптического коррелятора. Ч. I.— Автометрия, 1982, № 5.
2. Lugt Vander A. Sygnal detection by complex spatial filtering.— IEEE Trans. Inform. Theory, 1964. vol. IT-10, N 2, p. 139.
3. Шерина Я. Когерентность света.— М.: Мир, 1974.
4. Lohmann A. W., Werlich W. H. Incoherent matched filtering with Fourier holograms.— Appl. Opt., 1971, vol. 10, N 3, p. 670.
5. Морозов В. Н. Восстановление голограмм частично-когерентным излучением.— Квант. электроника, 1973, № 5 (17).
6. Колесников А. А., Лаптева Н. В. Исследование статистических характеристик мелкоструктурных изображений корреляционным методом.— В кн.: Оптические методы обработки информации/Под ред. Гуревича С. Б. Л.: Наука, 1978.
7. Папулис А. Теория систем и преобразований в оптике.— М.: Мир, 1971.
8. Золотарев А. И. и др. Инжекционные лазеры в корреляционных системах оптической обработки информации.— В кн.: IV Всесоюзная школа по оптической обработке информации: (Тез. докл.). Минск: ИЭ АН БССР, 1982, ч. 1.

Поступила в редакцию 2 февраля 1983 г.

УДК 681.327.68

А. А. ВЕРБОВЕЦКИЙ, Е. А. ЗИМОГЛЯДОВА, В. Б. ФЕДОРОВ
(Москва)

К ВОПРОСУ ПОСТРОЕНИЯ ОПТИЧЕСКИХ ЗАПОМИНАЮЩИХ УСТРОЙСТВ С МНОГОАБОНЕНТНЫМ ОБСЛУЖИВАНИЕМ

Повышение производительности современных мультипрограммных вычислительных систем осуществляется путем организации параллельной работы во времени процессора, мультиплексного и селекторного каналов и некоторых других устройств, независимо обращающихся к оперативной памяти. Эти устройства можно рассматривать как абоненты памяти. Возникает, таким образом, задача обеспечения работы оперативной памяти в режиме многоабонентного обслуживания [1, 2].

На рис. 1 изображена блок-схема многоабонентного

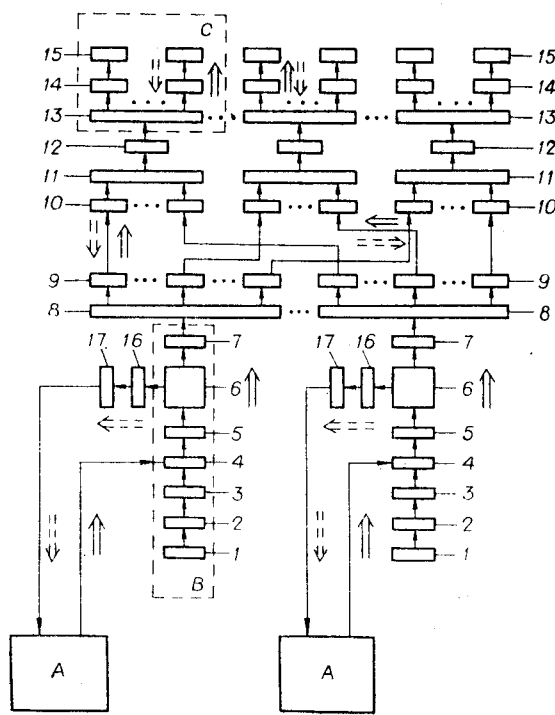


Рис. 1. Блок-схема многоабонентского оптического запоминающего устройства:

1 — лазер; 2 — дефлектор; 3, 5, 10, 12, 14, 16 — оптические системы; 4 — управляемый транспарант; 6 — светоделительный полипризационный куб; 7 — невзаимный вентиль; 8, 13 — управляемые поликубические мультиплексаторы изображений; 9 — жгуты волоконных световодов; 11 — управляемые поликубические системы сведения изображений; 15 — носители информации; 17 — фотоприемные матрицы (сплошная и штриховая стрелки — информационные потоки).